

# DIE BERECHNUNG DER UMLAUFGESCHWINDIGKEIT IN GEHEIZTEN VERTIKALEN ROHREN

Von

E. RÁCZ

Lehrstuhl für Flugzeugbau, Technische Universität, Budapest

(Eingegangen am 17. März 1962)

Es soll die Umlaufgeschwindigkeit ( $v_0$ ) in dem in Abb. 1 schematisch dargestellten, gut wärmeisolierten Apparat unter der Bedingung berechnet werden, daß der Wert von  $v_0$  innerhalb der Grenzen von 0,5—1,5 m/sec liegt und daß das Rohr nur dermaßen geheizt wird, daß die Dampfbildung in dem freien (nicht geheizten) Abschnitt des Steigrohres beginnt (s. Punkt A in Abb. 1). Diese Bedingungen schränken zwar die Verwendbarkeit der nachfolgenden Berechnungsmethode ein, doch erfüllen sie sich in vielen praktischen Fällen — nicht so sehr bei Wasserrohrkesseln, als vielmehr bei ähnlich gestalteten Verdampfern, Destillierapparaten usw. —, und dann ergibt diese Berechnungsmethode für praktische Zwecke gut brauchbare Resultate.

Ist der von den Dampfblasen besetzte Teilquerschnitt des Rohres im Abstand  $x$  vom Punkt A ( $f$  ist der ganze Rohrquerschnitt)

$$f_d = \varphi f, \quad (1)$$

so schreibt sich der von der Flüssigkeit besetzte Teilquerschnitt zu

$$f_f = (1 - \varphi)f. \quad (2)$$

Es sei weiters  $v$  die Geschwindigkeit der Flüssigkeit im Querschnitt  $x$ ,  $w$  die absolute Geschwindigkeit des Dampfes, also  $u = w - v$  die relative Geschwindigkeit des Dampfes zur Flüssigkeit. Die entsprechenden *dimensionslosen Geschwindigkeiten* bezeichnen wir wie folgt:

$$\left. \begin{aligned} \bar{v} &= \frac{v}{v_0} \\ \bar{w} &= \frac{w}{v_0} \\ \bar{u} &= \frac{u}{v_0} \end{aligned} \right\} \quad (3)$$



wesentlichen vom Druck im oberen Gefäß, d. h. vom sogenannten Separator-  
druck ( $p_s$ ) ab; von der unbedeutenden Veränderung von  $\gamma$  längs des Rohres  
kann hierbei abgesehen werden.

Eliminiert man aus den Gleichungen (8) das  $\varphi$ , so erhält man wegen  
 $\bar{w} = \bar{u} + \bar{v}$  für die dimensionslose Flüssigkeits- bzw. Dampfgeschwindigkeit die  
Ausdrücke

$$\left. \begin{aligned} \bar{v} &= \frac{1}{2} [(\gamma - 1)c - \bar{u} + 1] + \sqrt{1/4[(\gamma - 1)c - \bar{u} + 1]^2 + \bar{u}(1 - c)} \\ \bar{w} &= \frac{1}{2} [(\gamma - 1)c + \bar{u} + 1] + \sqrt{1/4[(\gamma - 1)c - \bar{u} + 1]^2 + \bar{u}(1 - c)} \end{aligned} \right\} \quad (9)$$

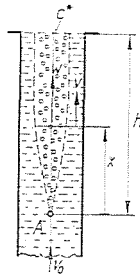


Abb. 2

In den oben umschriebenen praktischen Fällen lassen sich

$$1 - c \approx 1 \quad \text{und} \quad \gamma - 1 \approx \gamma$$

nehmen, es wird mithin

$$\left. \begin{aligned} \bar{v} &= \frac{1}{2} (\gamma c - \bar{u} + 1) + \sqrt{1/4(\gamma c - \bar{u} + 1)^2 + \bar{u}} \\ \bar{w} &= \frac{1}{2} (\gamma c + \bar{u} + 1) + \sqrt{1/4(\gamma c - \bar{u} + 1)^2 + \bar{u}} \end{aligned} \right\} \quad (10)$$

Wie ersichtlich, hängen  $\bar{v}$  und  $\bar{w}$  — bei gegebenem Separatordruck (d. h. bei gegebenem  $\gamma$ ) — nur von  $c$  und  $\bar{u}$  ab.

Die Wichte des Gemisches im Querschnitte  $x$  läßt sich unter Berücksichtigung von (8) zu

$$\gamma_g = (1 - \varphi) \gamma_f + \varphi \gamma_d = \gamma_f \left[ 1 - (\gamma - 1) \frac{c}{\bar{w}} \right] \approx \gamma_f \left( 1 - \frac{\gamma c}{\bar{w}} \right) \quad (11)$$

schreiben.

Es sei im weiteren angenommen, daß der gewichtliche relative Dampfgehalt proportional mit dem Abstand  $x$  vom Punkt A zunimmt, daß also

$$c = \zeta x, \quad (12)$$

worin  $\zeta$  konstant ist. Diese Annahme ist vor allem dann berechtigt, wenn es—wie schon eingangs angenommen — im Abschnitt der Dampfbildung keine Wärmeübergabe gibt, wenn also die Dampfbildung ausschließlich infolge der annähernd linearen Abnahme des hydrostatischen Druckes zustande kommt.

Die Zirkulation wird durch den *Wichteunterschied* der Flüssigkeit im Fallrohr bzw. des Gemisches im Steigrohr im Rohrabschnitt  $h$  aufrechterhalten. (Die wesentlich kleinere Auftriebskraft, die sich aus der Erwärmung der Flüssigkeit um einige Grade im Wärmeumtauscher ergibt, kann außer acht gelassen werden.) Die aus dem hydrostatischen Druckunterschied resultierende spezifische Auftriebskraft kann daher — unter Berücksichtigung von (11) und (12) — folgendermaßen geschrieben werden:

$$P_a = \int_0^h (\gamma_f - \gamma_g) dx = \frac{\gamma_f \gamma'}{\zeta} \int_0^{c^*} \frac{c}{w} dc. \quad (13)$$

worin  $c^*$  den relativen Dampfgehalt im oberen Querschnitt des Steigrohres bedeutet (s. Abb. 2).

Will man im folgenden den Reibungsverlust und den Beschleunigungsverlust für den Abschnitt  $h$  des Steigrohres berechnen, so hat man zur Ermittlung des Reibungsverlustes für *die kinetische Energie der Volumeinheit des Gemisches* im Querschnitt  $x$  auf Grund der Beziehungen (8) die Gleichung

$$E = (1 - \varphi) \frac{\gamma_f v^2}{2g} + \varphi \frac{\gamma_d w^2}{2g} = \frac{\gamma_f v_0^2}{2g} (\bar{v} + c\bar{u}), \quad (14)$$

und somit für den Reibungsverlust selbst

$$\begin{aligned} P_r &= \frac{\lambda}{d} \int_0^h E dx = \frac{\lambda}{d} \frac{\gamma_f v_0^2}{2g} \int_0^h (\bar{v} + c\bar{u}) dx = \\ &= \frac{\lambda}{d\zeta} \frac{\gamma_f v_0^2}{2g} \int_0^{c^*} (\bar{v} + c\bar{u}) dc, \end{aligned} \quad (15)$$

worin  $\lambda$  den Reibungskoeffizienten und  $d$  den Rohrdurchmesser bedeuten.

Die die Volumeinheit des Gemisches beschleunigende Kraft läßt sich — ebenfalls unter Berücksichtigung der Beziehungen (8) — in der Form

$$P_b = (1 - \varphi) \frac{\gamma_f}{g} \frac{dv}{dt} + \varphi \frac{\gamma_a}{g} \frac{dw}{dt} = \frac{\gamma_f v_0^2}{g} \left( \frac{d\bar{v}}{dx} + c \frac{d\bar{u}}{dx} \right) \quad (16)$$

schreiben, woraus sich der Beschleunigungsverlust des Gemisches für den Abschnitt  $h$  zu

$$\begin{aligned} P_b &= \int_0^h P_b dx = \frac{\gamma_f v_0^2}{g} \int_0^h \left( \frac{d\bar{v}}{dx} + c \frac{d\bar{u}}{dx} \right) dx = \\ &= \frac{\gamma_f v_0^2}{g} (\bar{v}^* - 1 + \int_{\bar{u}_0}^{\bar{u}^*} c d\bar{u}) \end{aligned} \quad (17)$$

ergibt. Hierin beziehen sich die mit \* bezeichneten Größen auf den oberen Querschnitt des Steigrohres.

Um im weiteren die Werte von  $p_a$ ,  $p_r$  und  $p_b$  im gegebenen Fall numerisch ermitteln zu können, sollen hier Versuchsergebnisse verwendet werden, die eine Beziehung zwischen den dimensionslosen Geschwindigkeiten und dem relativen Dampfgehalt festzulegen gestatten. Die für diese Zwecke geeigneten Versuchsergebnisse von PETERSON sind in Abb. 3 zusammengefaßt, in welcher die relative Geschwindigkeit  $u$  der Dampfblasen in Abhängigkeit von der Umlaufgeschwindigkeit  $v_0$  bei den verschiedenen Parameterwerten der *reduzierten Dampfgeschwindigkeit*  $w_r$  in vertikalen Rohren aufgetragen ist. Unter reduzierter Geschwindigkeit versteht Peterson eine auf den ganzen Rohrquerschnitt bezogene Geschwindigkeit des Dampfes, deren Zusammenhang mit  $w$  sich sehr einfach aus der Beziehung

$$\gamma_d \varphi f w = \gamma_d f w_r$$

ergibt, woraus

$$w_r = \varphi w,$$

bzw. auf Grund von (8)

$$\bar{w}_r = \varphi \bar{w} = \gamma c. \quad (18)$$

Trägt man die Kurvenschar von Peterson in ein Koordinaten-System  $\bar{w}_r = \gamma c$ ,  $\bar{u}$  mit den Parameterwerten von  $v_0$  auf, so erhält man das Bild gemäß Abb. 4.

Wie man sieht, läßt sich für den Bereich  $v_0 = 0,5 - 1,5$  m/sec mit sehr guter Annäherung ein Zusammenhang zwischen  $\bar{u}$  und  $\gamma c$ , u. zw.

$$\bar{u} = 0,85 (1 + \gamma c) \quad (19)$$

schreiben.

Diese einheitliche Beziehung erleichtert die weiteren Berechnungen wesentlich.

Mit (19) nehmen die Ausdrücke (13), (15) und (17) folgende Form an:

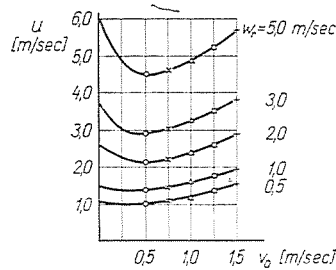


Abb. 3

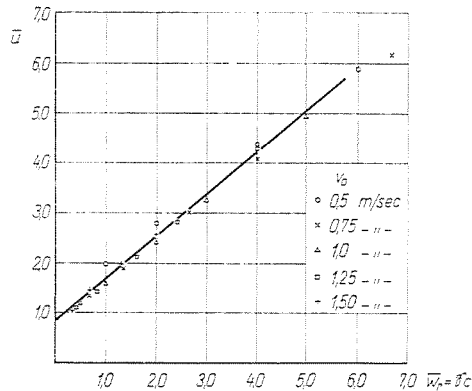


Abb. 4

$$P_a = \frac{\gamma_f}{\xi} \int_0^{c^*} \frac{\gamma c}{0,925 (1 + \gamma c) + \sqrt{[0,075 (1 + \gamma c)]^2 + 0,85 (1 + \gamma c)}} dc \quad (20)$$

$$P_r = \frac{\lambda}{d \xi} \frac{\gamma_f v_0^2}{2g} \int_0^{c^*} [(0,075 + 0,85c) (1 + \gamma c) + \sqrt{[0,075 (1 + \gamma c)]^2 + 0,85 (1 + \gamma c)}] dc \quad (21)$$

$$P_b = \frac{\gamma_f v_0^2}{g} [0,075 (1 + \gamma c^*) + \sqrt{[0,075 (1 + \gamma c^*)]^2 + 0,85 (1 + \gamma c^*)} + 0,425 \gamma c^{*2} - 1] \quad (22)$$

Wie ersichtlich, hängen  $p_a$ ,  $p_r$  (außer  $\zeta$ ) und  $p_b$  nun nur noch von  $\gamma c$  bzw. von  $c$ , d. h. von dem gewichtlichen relativen Dampfgehalt ab. Die in den Formeln (20) und (21) vorkommenden Integrale wird man — obwohl das Ergebnis des Integrierens durch weitläufige Ausdrücke auch in geschlossener Form angegeben werden kann — praktisch am zweckmäßigsten graphisch ermitteln.

Die Berechnung kann im weiteren durch Iteration erfolgen. Nimmt man den Anfangswert der Umlaufgeschwindigkeit  $v_0$  in  $v_{01}$  an, so kann die im Wärmeumtauscher der umlaufenden Flüssigkeit stündlich übertragene Wärmemenge  $Q_1$  nach den bekannten Zusammenhängen der Wärmeübertragung berechnet werden. Mit dem bekannten Werte von  $Q_1$  hat man sogleich

$$c_1^* = \frac{G_d}{G_g} = \frac{Q_1}{3,6 \, r f \, v_{01} \gamma_f} 10^{-3}, \quad (23)$$

worin  $r$  die Verdampfungswärme der Flüssigkeit ist (sie kann am Separatordrucke genommen werden).

Für die stationäre Zirkulation der Flüssigkeit gibt die Gleichgewichtsgleichung

$$p_a = p_r + p_b + \Sigma p_h, \quad (24)$$

worin  $\Sigma p_h$  den gesamten *hydraulischen Druckverlust* des Zirkulationskreises außerhalb des Siedeabschnittes im Steigrohr ( $h$ ) bedeutet. Mit dem bekannten  $v_0$  erhält man  $\Sigma p_h$  anhand der aus der Hydraulik bekannten Zusammenhänge sehr einfach. In (24) — unter Berücksichtigung von (23) — ist allein  $\zeta$  unbekannt; welches, und damit auch die Länge des Siedeabschnittes:

$$h_1 = \frac{c_1^*}{\zeta}, \quad (25)$$

gleich zu erhalten ist. (Zur genauen Berechnung von  $\Sigma p_h$  müßte man den Wert von  $h$  kennen, doch begeht man einen vernachlässigbaren Fehler, wenn man  $h$  bloß schätzt.)

Den Temperaturverlauf längs des Steigrohres veranschaulicht Abb. 1 für gute Wärmeisolierung. Die Temperatur im Anfangspunkt des Siedeabschnittes — also im Punkt  $A$  — kann von zwei Seiten her berechnet werden.

Für die Erwärmung der Flüssigkeit im Wärmeumtauscher gilt die Beziehung

$$\frac{Q_1}{3,6 \, f v_{01} \gamma_f} 10^{-3} = (t_{e1} - t_f) c_f,$$

in der  $t_f$  die Temperatur der zirkulierenden Flüssigkeit im Fallrohr bzw. vor dem Eintritt in den Wärmeumtauscher,  $t_{e1}$  hingegen die Temperatur hinter

dem Wärmeumtauscher und  $c_f$  die spezifische Wärme der Flüssigkeit (kann bei der Temperatur  $t_f$  genommen werden) bezeichnen.

Aus dieser Beziehung erhält man die Temperatur hinter dem Wärmeumtauscher zu

$$t_{e1} = t_f + \frac{Q_1}{3,6 f v_{01} \gamma_f c_f} 10^{-3}. \quad (26)$$

Andererseits läßt sich der hydrostatische Druck im Punkt  $A$  zu

$$p_A = p_r + p_b + (h + h') \gamma_f - p_a + p_s \quad (27)$$

schreiben.

Die dem Druck  $p_A$  entsprechende gesättigte Dampftemperatur  $t'_{e1}$  mußte mit dem aus (26) berechneten Wert von  $t_{e1}$  übereinstimmen. Das kann nur zufällig vorkommen, im allgemeinen besteht die Übereinstimmung nicht, man wiederholt deshalb die Berechnung mit einem anderen Wert von  $v_0$ . Mit wachsendem  $v_0$  nimmt im allgemeinen  $t_e$  ab,  $t'_e$  dagegen zu. Der Schnittpunkt der Kurven  $t_e$  und  $t'_e$  ergibt die tatsächliche Umlaufgeschwindigkeit:  $v_0$ . Trägt man gleichzeitig auch die Veränderung von  $h$  und  $Q$  auf, so erhält man bei  $v_0$  auch die tatsächlichen Werte dieser Größen und damit ein klares Bild über den Ablauf der ganzen Erscheinung.

Die obige Berechnungsmethode eignet sich im wesentlichen auch für kleinere bzw. höhere Werte von  $v_0$ , sofern die nötigen Versuchsergebnisse zur Verfügung stehen. Hierbei wird den Zusammenhang zwischen  $\bar{u}$  und  $c$  wahrscheinlich nicht eine den Formeln (19) gemäß aufgetragene einzige Kurve, sondern eine Kurvenschar mit den Parameterwerten  $v_0$  darstellen, was jedoch den Gang der Berechnung nicht wesentlich beeinflusst.

### Zusammenfassung

Zur Bestimmung der Umlaufgeschwindigkeit in geheizten vertikalen Röhren werden Zusammenhänge zwischen dem gewichtlichen relativen Dampfgehalt und den dimensionslosen Geschwindigkeiten des Dampfes bzw. der Flüssigkeit im Siedeabschnitt abgeleitet. Zu weiteren numerischen Berechnungen werden die Versuchsergebnisse von PETERSON angewendet. Die Berechnung erfolgt auf dem Wege der Iteration.

### Literatur

- Петерсон, Д. Ф.: К вопросу об относительной движении пара и воды в трубках паровых котлов. Сов. котлотурбостр. 1936. № 4.  
 Телетов, С. Г.: К методике расчета циркуляции. Известия ЭНИН АН СССР, т. XI. 1940.  
 MÜNZINGER, FR.: Dampfkraft, 2. Auflage. Berlin 1933.  
 BECKER, K.: Die Berechnung des natürlichen Wasserumlaufes in Dampfkesseln. München.

Prof. E. RÁCZ, Budapest XI., Bertalan Lajos u. 4—6, Ungarn